

Tvarová optimalizace pro 3D kontaktní problém s Coulombovým třením

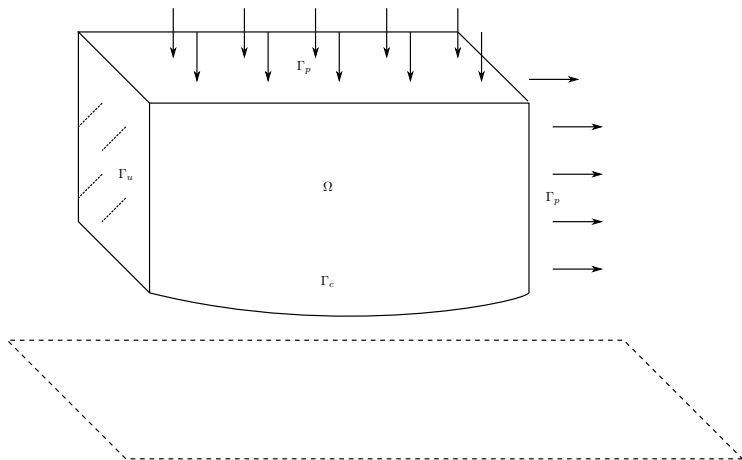
Petr Beremlijski*, Jaroslav Haslinger, Michal Kočvara, Radek Kučera a
Jiří V. Outrata

*Katedra aplikované matematiky
Fakulta elektrotechniky a informatiky
VŠB - Technická univerzita Ostrava

SNA'08 Liberec
28. ledna 2008

- 1 STAVOVÁ ÚLOHA
- 2 TVAROVÁ OPTIMALIZACE
- 3 CITLIVOSTNÍ ANALÝZA
- 4 NUMERICKÉ PŘÍKLADY

Kontaktní úloha s Coulombovým třením



Kontaktní problém s Coulombovým třením je popsán následujícími vztahy:

$$\frac{\partial \tau_{ij}(u)}{\partial x_j} = 0 \text{ v } \Omega, \quad i = 1, 2$$

$$\tau_{ij} \nu_j = F_i \text{ na } \Gamma_p, \quad i = 1, 2$$

$$u_i = 0 \text{ na } \Gamma_u, \quad i = 1, 2$$

$$(u_\nu + \alpha) T_\nu(u) = 0 \text{ na } \Gamma_c, \text{ kde } u_\nu \equiv u \cdot \nu \leq -\alpha, \quad T_\nu(u) \equiv \tau_{ij}(u) \nu_i \nu_j \leq 0$$

$$|T_t(u)| \leq -\mathcal{F}T_\nu(u), \text{ kde } T_t \equiv \tau_{ij}(u) \nu_j t_i \text{ na } \Gamma_c$$

$$|T_t(u)| < -\mathcal{F}T_\nu(u)(x) \Rightarrow u_t(x) \equiv (ut)(x) = 0 \text{ na } \Gamma_c$$

$$|T_t(u)| = -\mathcal{F}T_\nu(u)(x) \Rightarrow \exists \lambda(x) > 0 : u_t(x) = \lambda(x) \mathcal{F}T_\nu(u)(x) \text{ na } \Gamma_c$$

STAVOVÁ ÚLOHA

Algebraická formulace kontaktního problému se zadaným třením:

Najděme $(\mathbf{u}, \boldsymbol{\lambda}_\nu, \boldsymbol{\lambda}_{t1}, \boldsymbol{\lambda}_{t2}) \in \mathbb{R}^n \times \boldsymbol{\Lambda}_\nu \times \boldsymbol{\Lambda}_t$

takové, že

$$\mathbf{A}\mathbf{u} = \mathbf{l} - \mathbf{B}_\nu^T \boldsymbol{\lambda}_\nu - \mathbf{B}_{t1}^T \boldsymbol{\lambda}_{t1} - \mathbf{B}_{t2}^T \boldsymbol{\lambda}_{t2}$$

$$\begin{aligned} (\boldsymbol{\lambda}_\nu - \boldsymbol{\mu}_\nu, \mathbf{B}_\nu \mathbf{u})_{\mathbb{R}^p} + (\boldsymbol{\lambda}_{t1} - \boldsymbol{\mu}_{t1}, \mathbf{B}_{t1} \mathbf{u})_{\mathbb{R}^p} + (\boldsymbol{\lambda}_{t2} - \boldsymbol{\mu}_{t2}, \mathbf{B}_{t2} \mathbf{u})_{\mathbb{R}^p} &\geq \\ &\geq (\boldsymbol{\lambda}_\nu - \boldsymbol{\mu}_\nu, \tilde{\mathbf{B}}\boldsymbol{\alpha})_{\mathbb{R}^p} \quad \forall (\boldsymbol{\mu}_\nu, \boldsymbol{\mu}_{t1}, \boldsymbol{\mu}_{t2}) \in \boldsymbol{\Lambda}_\nu \times \boldsymbol{\Lambda}_t \end{aligned}$$

$$\boldsymbol{\Lambda}_\nu = \{\boldsymbol{\mu}_\nu \in \mathbb{R}^p \mid \mu_\nu \geq 0\}$$

$$\boldsymbol{\Lambda}_t = \{(\boldsymbol{\mu}_{t1}^T, \boldsymbol{\mu}_{t2}^T)^T \in \mathbb{R}^p \times \mathbb{R}^p \mid (\mu_{t1})_i^2 + (\mu_{t2})_i^2 \leq g_i, \quad i = 1, \dots, p\}$$

Zavedeme zobrazení $\Phi : \mathbb{R}_+^p \rightarrow \mathbb{R}_+^p$:

$$\Phi(g) = \mathcal{F}\lambda_\nu(g) \quad \forall g \in \mathbb{R}_+^p$$

Řešení diskrétního kontaktního problému s Coulombovým třením definujeme jako pevný bod zobrazení Φ

Tvarová optimalizace pro kontaktní úlohu s Coulombovým třením

$$\min \Theta(\boldsymbol{\alpha}) = \mathcal{J}(\boldsymbol{\alpha}, \mathcal{S}(\boldsymbol{\alpha}))$$

s omezením

$$\boldsymbol{\alpha} \in U_{ad}$$

$$U_{ad} = \left\{ \boldsymbol{\alpha} \in \mathbb{R}^{d_1 \times d_2} \mid \begin{aligned} &0 \leq \boldsymbol{\alpha}^{(i,j)} \leq C_0, \quad i = 0, 1, \dots, d_1, \quad j = 0, 1, \dots, d_2; \\ &|\boldsymbol{\alpha}^{(i+1,j)} - \boldsymbol{\alpha}^{(i,j)}| \leq \frac{C_1}{d_1}, \quad i = 0, 1, \dots, d_1 - 1, \quad j = 0, 1, \dots, d_2; \\ &|\boldsymbol{\alpha}^{(i,j+1)} - \boldsymbol{\alpha}^{(i,j)}| \leq \frac{C_1}{d_2}, \quad i = 0, 1, \dots, d_1, \quad j = 0, 1, \dots, d_2 - 1; \\ &\left. \sum_{i=0}^{d_1} \sum_{j=0}^{d_2} \boldsymbol{\alpha}^{(i,j)} = C_2(d_1 + 1)(d_2 + 1) \right\}$$

Pro numerické řešení úlohy použijeme bundle trust metodu, ta potřebuje v každém bodě α jeden libovolný Clarkeův subgradient:

$$\xi \in \partial\Theta(\alpha) = \partial\mathcal{J}(\alpha, \mathcal{S}(\alpha))$$

CITLIVOSTNÍ ANALÝZA

$\mathcal{S}(\alpha)$ (řešení kontaktního problému s Coulombovým třením) je dáno jako řešení zobecněné rovnosti:

$$\begin{aligned} \mathbf{0} &\in \mathbf{A}_{tt}(\alpha)\mathbf{u}_t + \mathbf{A}_{t\nu}(\alpha)\mathbf{u}_\nu - \mathbf{l}_t(\alpha) + \tilde{\mathbf{Q}}(\mathbf{u}_t, \lambda_\nu) \\ \mathbf{0} &= \mathbf{A}_{\nu t}(\alpha)\mathbf{u}_t + \mathbf{A}_{\nu\nu}(\alpha)\mathbf{u}_\nu - \mathbf{l}_\nu(\alpha) - \lambda_\nu \\ \mathbf{0} &\in \mathbf{u}_\nu + \alpha + N_{\mathbb{R}_+^p}(\lambda_\nu), \end{aligned} \tag{GE}$$

kde

$$\tilde{\mathbf{Q}}(\mathbf{u}_{t1}, \mathbf{u}_{t2}, \lambda_\nu) = \partial_{(\mathbf{u}_{t1}, \mathbf{u}_{t2})} j(\mathbf{u}_{t1}, \mathbf{u}_{t2}, \lambda_\nu), \quad j(\mathbf{u}_{t1}, \mathbf{u}_{t2}, \lambda_\nu) = \mathcal{F} \sum_{i=1}^p \lambda^i \|(\mathbf{u}_{t1}^i, \mathbf{u}_{t2}^i)\|$$

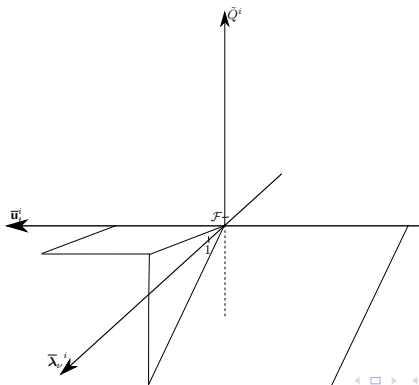
a $N_{\mathbb{R}_+^p}$ je standardní normálový kužel

CITLIVOSTNÍ ANALÝZA

2D případ

Multifunkce \tilde{Q} pro pevné $i \in \{1, 2, \dots, p\}$ je dána následujícím předpisem:

$$\mathcal{F}\lambda_\nu^i \partial |u_t^i| = \begin{cases} \mathcal{F}\lambda_\nu^i & \text{jestliže } u_t^i > 0 \\ -\mathcal{F}\lambda_\nu^i & \text{jestliže } u_t^i < 0 \\ [-\mathcal{F}\lambda_\nu^i, \mathcal{F}\lambda_\nu^i] & \text{jestliže } u_t^i = 0 \end{cases}$$



Nalezení jednoho (libovolného) Clarkeova subgradientu:

$$\partial\Theta(\boldsymbol{\alpha}) = \nabla_1\mathcal{J}(\boldsymbol{\alpha}, \mathcal{S}(\boldsymbol{\alpha})) + \text{conv} \{ \mathbf{C}^T \nabla_2\mathcal{J}(\boldsymbol{\alpha}, \mathcal{S}(\boldsymbol{\alpha})) \mid \mathbf{C} \in \partial\mathcal{S}(\boldsymbol{\alpha}) \}$$

Protože $\forall \mathbf{y}^* : \emptyset \neq D^*\mathcal{S}(\boldsymbol{\alpha})(\mathbf{y}^*) \subset \text{conv} \{ \mathbf{C}^T \mathbf{y}^* \mid \mathbf{C} \in \partial\mathcal{S}(\boldsymbol{\alpha}) \}$, stačí nalézt jeden prvek z množiny $D^*\mathcal{S}(\boldsymbol{\alpha})(\nabla_2\mathcal{J}(\boldsymbol{\alpha}, \mathcal{S}(\boldsymbol{\alpha})))$

Prvky limitní koderivace $D^*\mathcal{S}(\boldsymbol{\alpha})$ najdeme použitím nehladkého kalkulu
B. Morduchoviče

Příklad 1

$$\begin{aligned} \min \quad & \|\bar{\lambda}_1 - \lambda_\nu\|_2^2 \\ \text{s omezením} \quad & \alpha \in U_{ad} \end{aligned}$$

Příklad 2

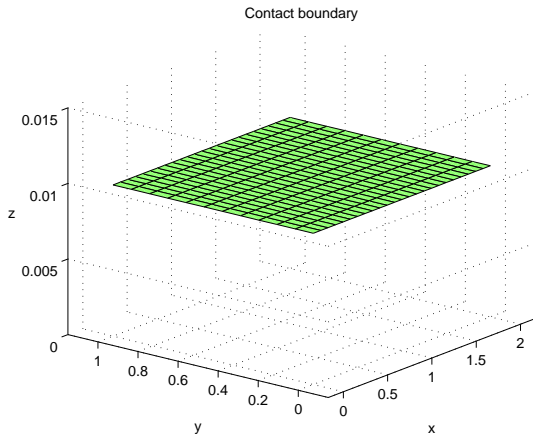
$$\begin{aligned} \min \quad & \|\bar{\lambda}_2 - \lambda_\nu\|_2^2 \\ \text{s omezením} \quad & \alpha \in U_{ad} \end{aligned}$$

Příklad 3

$$\begin{aligned} \min \quad & \|\lambda_\nu\|_4^4 \\ \text{s omezením} \quad & \alpha \in U_{ad} \end{aligned}$$

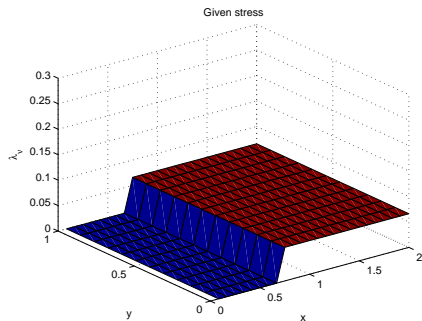
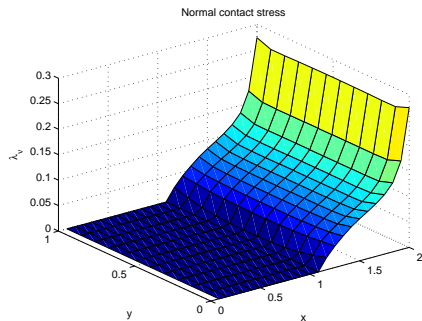
PŘÍKLAD 1

Počáteční tvar pružného tělesa



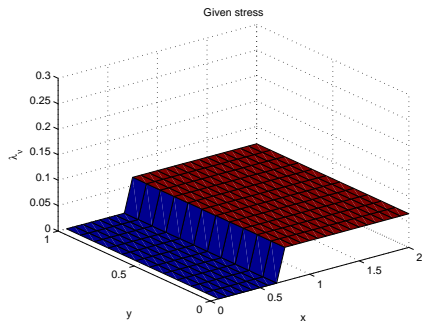
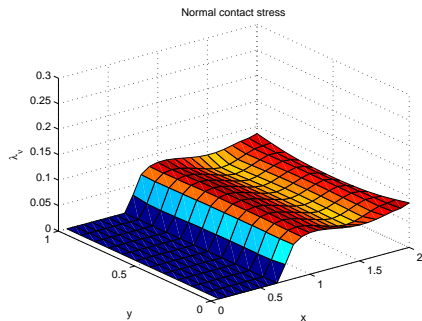
PŘÍKLAD 1

Rozložení normálového a předepsaného napětí na kontaktní hranici pro počáteční návrh tělesa



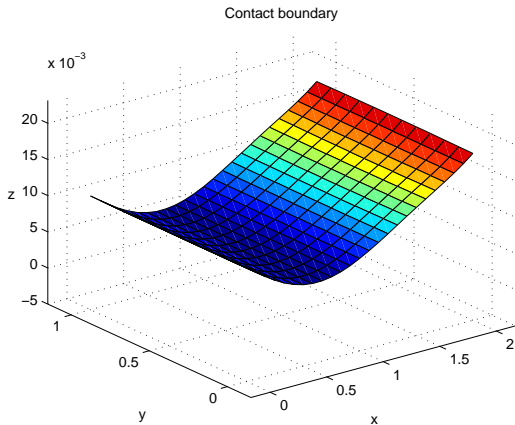
PŘÍKLAD 1

Rozložení normálového a předepsaného napětí na kontaktní hranici pro optimalizovaný návrh tělesa



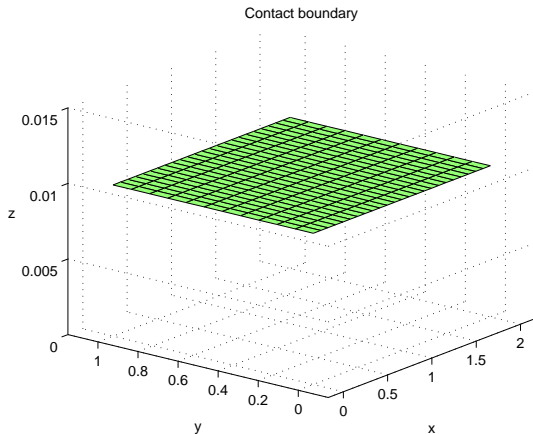
PŘÍKLAD 1

Optimalizovaný tvar pružného tělesa



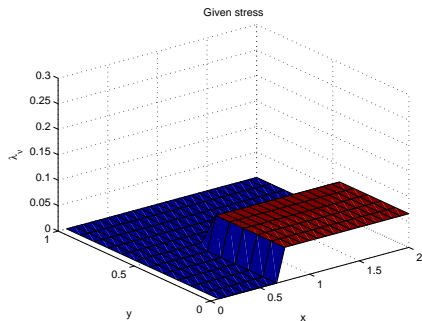
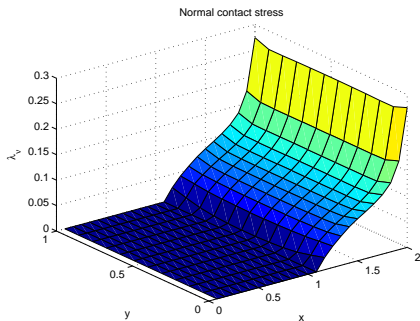
PŘÍKLAD 2

Počáteční tvar pružného tělesa



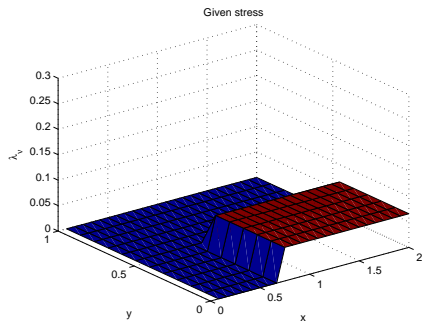
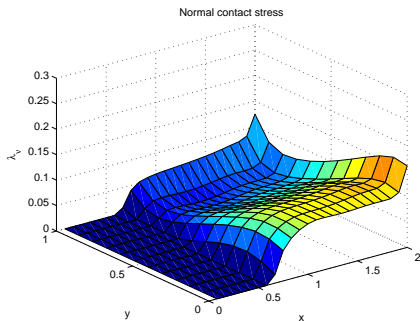
PŘÍKLAD 2

Rozložení normálového a předepsaného napětí na kontaktní hranici pro počáteční návrh tělesa



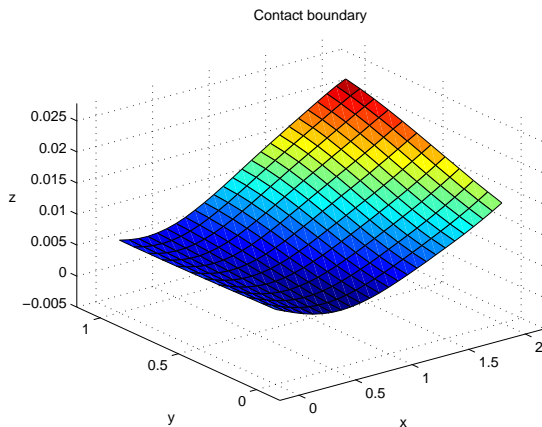
PŘÍKLAD 2

Rozložení normálového a předepsaného napětí na kontaktní hranici pro optimalizovaný návrh tělesa



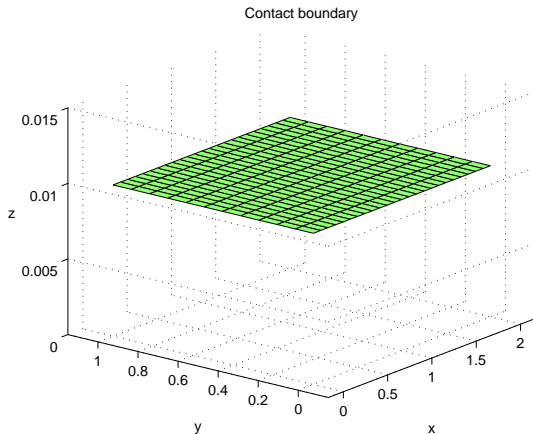
PŘÍKLAD 2

Optimalizovaný tvar pružného tělesa



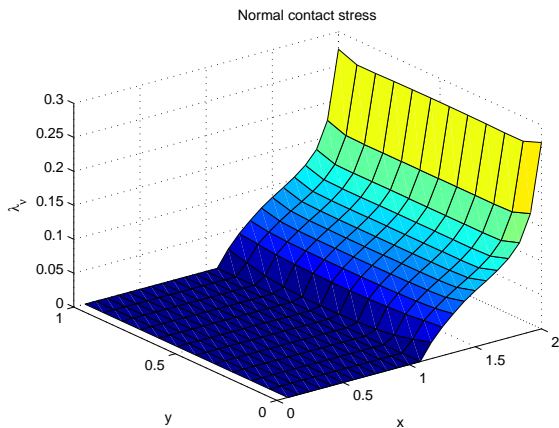
PŘÍKLAD 3

Počáteční tvar pružného tělesa



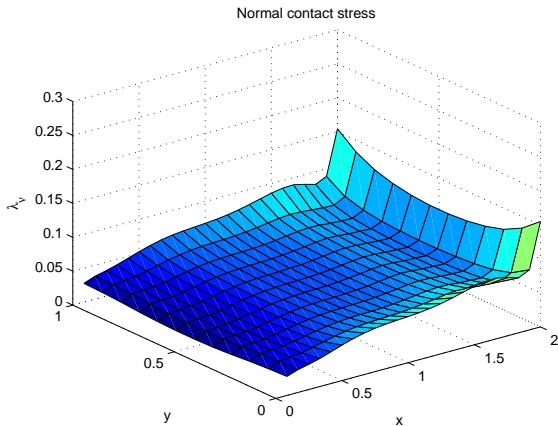
PŘÍKLAD 3

Rozložení normálového napětí na kontaktní hranici pro počáteční návrh tělesa



PŘÍKLAD 3

Rozložení normálového napětí na kontaktní hranici pro optimalizovaný návrh tělesa



PŘÍKLAD 3

Optimalizovaný tvar pružného tělesa

